

بررسی های تجربی و عددی پارامترهای موثر در یک روش جدید هیدروفرمینگ ورق

مرتضی حسین زاده^۱، حمید مستاجران^۲، محمد بخشی^۳، عبدالحمید گرجی^۴، سلمان نوروزی^۵ و سید جمال حسینی پور^۶

دانشکده مهندسی مکانیک، دانشگاه صنعتی نوشیروانی بافق

(تاریخ دریافت: ۱۳۸۸/۰۳/۰۹؛ تاریخ پذیرش: ۱۳۸۸/۱۰/۱۸)

چکیده

در سال های اخیر، روش های مختلف هیدروفرمینگ ورق های فلزی از سوی محققان ارائه شده است. این روش ها، علی‌رغم داشتن مزایای بسیار، محدودیت هایی نیز دارند. از سوی نگارندگان این مقاله نیز قبلاً یک روش جدید هیدروفرمینگ ارائه شده است. در روش ارائه شده در این مقاله از یک صفحه پلی یورتانی به منظور کنترل نیروی ورقگیر و کاهش چروکیدگی در ناحیه فلنچ استفاده می شود. پارامترهای موثر، نظری پیش بشکه ای کردن و فشار شکل دهی، به صورت تجربی و شبیه‌سازی اجزای محدود مورد بررسی قرار گرفته و نشان داده شده که شکل دهی در قالب جدید هیدروفرمینگ در مقایسه با روش های دیگر هیدروفرمینگ به فشار سیال بسیار پایین تری نیاز دارد. به همین دلیل، پیش بشکه ای کردن تأثیر چندانی بر توزیع ضخامت محصول ندارد. همچنین، نشان داده شده که با افزایش فشار شکل دهی، ضخامت بحرانی از ناحیه سر سنبه به ناحیه دیواره قطعه انتقال پیدا می کند. همچنین، تأثیر اصطکاک بین سنبه و ورق به صورت شبیه‌سازی مورد بررسی قرار گرفت و نشان داده شد که افزایش اصطکاک سبب بهبود توزیع ضخامت در فرایند کشش عمیق می شود.

واژه های کلیدی: شکل دهی فلزات، کشش عمیق، هیدروفرمینگ ورق، شبیه سازی اجزای محدود

Experimental and Numerical Investigations of the Effective Parameters in a New Sheet Hydroforming Method

M. Hosseinzade, H. Mostajeran, M. Bakhshi, A.H. Gorji, S. Norouzi, and S.J. Hosseinipour
Mech. Eng. Dep't., Babol Noshirvani Univ. of Tech.

ABSTRACT

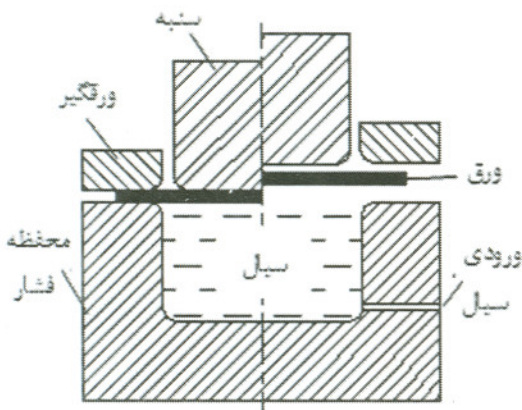
In recent years, several sheet hydroforming methods have been introduced by researchers. Despite the advantages of these methods, they have some limitations. A new sheet hydroforming process was previously introduced by the authors, where in a polyurethane diaphragm is used to control the blank holder force and to reduce wrinkling in the flange area. In this paper, the effect of significant parameters, including pre-bulging and forming pressure was studied by experimental work and by finite element simulation. It was shown that in forming by the proposed die, a much lower pressure was required compared to those in other sheet hydroformings. Moreover, it was concluded that in the new die, pre-bulging does not considerably affect the sheet thickness distribution. It was also illustrated that by increasing the internal pressure, the critical thickness will be transferred from the punch tip area towards the product wall area. Also, the effect of friction coefficient between the punch and the blank was studied numerically and it was shown that increasing the friction coefficient causes improvement in the thickness distribution.

Keywords: Metal Forming, Deep Drawing, Sheet Hydroforming, Finite Element Simulation

-
- ۱- دانشجوی دکتری: m_hoseinzadeh59@yahoo.com
 - ۲- دانشجوی کارشناسی ارشد: h.mostajeran@stu.nit.ac.ir
 - ۳- استاد (نویسنده پاسخگو): bakhshi@nit.ac.ir
 - ۴- دانشجوی کارشناسی ارشد: Hamidgorji@nit.ac.ir
 - ۵- استادیار: S_nourouzi@nit.ac.ir
 - ۶- استادیار: J_hosseini@nit.ac.ir

Archive of SID

تحت تغییر شکل قرار گرفتن دیافراگم، خرابی زودرس در آن اتفاق می‌افتد. بعلاوه، تعویض دیافراگم وقت گیر و پرهزینه بوده و استفاده از آن موجب افزایش نیروی شکل دهی می‌شود. همچنین استفاده از دیافراگم مانع شکل دهی لبه‌های تیز در ورق خواهد شد. از این رو، کاربرد روش هیدروفرمینگ استاندارد در صنعت با مشکلاتی همراه می‌باشد که با استقبال صنعتگران مواجه نگردیده است. به منظور رفع مشکلات روش هیدروفرمینگ استاندارد روش کشش عمیق هیدرومکانیکی ساده بر اساس روش هیدروفرمینگ استاندارد ارایه شد که در شکل ۲ شماتیک این روش نشان داده شده است [۴-۳].



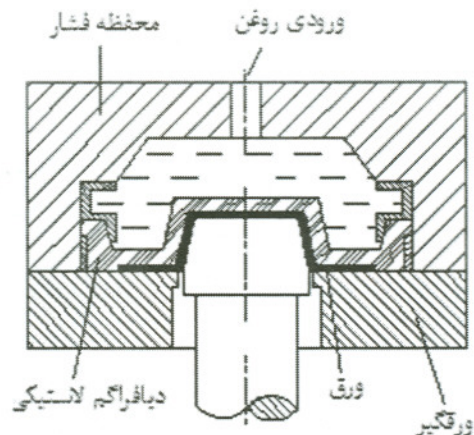
شکل (۲): نمایش شماتیک روش هیدرومکانیکی.

همانطور که از شکل پیداست، در این روش، دیافراگم حذف شده و ورق بطور مستقیم با روغن در تماس می‌باشد. در روش کشش عمیق هیدرومکانیکی ساده، همانند روش کشش عمیق سنتی، ورق در بین ورقگیر و قالب (محفظه فشار) تحت فشار نگه داشته می‌شود. از این رو، نسبت کشش در این حالت بسیار مشکل می‌باشد همچنین آب بندی در این حالت بسیار مشکل می‌باشد که این نکته یک محدودیت عمدی محسوب می‌شود. برای رفع محدودیت فرآیند کشش عمیق هیدرومکانیکی ساده، روش دیگر هیدروفرمینگ به نام کشش عمیق هیدرومکانیکی ارایه گردید که شماتیک آن در شکل ۳ آمده است [۴]. در این روش، ورق گیر در فاصله معینی از ورق قرار می‌گیرد و با وارد شدن فشار روغن، ورق به ورق گیر می‌چسبد. بدین ترتیب نسبت کشش افزایش یافته

۱- مقدمه

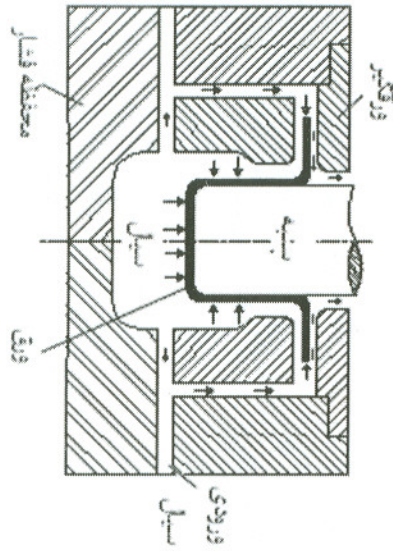
در طی سالهای اخیر نوآوریهای بسیاری در زمینه فرآیند کشش عمیق ورق های فلزی معرفی شده است که یک نمونه مهم آن روش هیدروفرمینگ ورق می‌باشد [۱]. در این روش، علاوه بر اعمال نیروی پرس، بطور همزمان از فشار یک سیال نیز برای عملیات شکل دهنی استفاده می‌شود [۲]. در مقایسه با روش کشش عمیق سنتی، تکنولوژی هیدروفرمینگ ورق مزایای متعددی دارد که مهمترین آنها عبارتند از: شکل دهنی قطعات پیچیده، شکل دهنی با نسبت کشش زیاد، دقیق ابعادی بالاتر به دلیل کاهش برگشت فنری، صافی سطح مطلوب و عدم نیاز به قالب پیچیده [۳].

در زمینه هیدروفرمینگ ورق تحقیقات بسیاری در طی سالهای اخیر انجام شده و روش‌های متعددی از سوی محققان ارایه گردیده است. روش هیدروفرمینگ استاندارد توسط سیرووارودچلوان و همکارش [۱]، کندیل [۲] و ژنگ و همکارش [۳] مورد بررسی قرار گرفت. تصویر کلی این روش در شکل ۱ نشان داده شده که در آن قالب به یک محفظه فشار تبدیل گردیده و فشار سیال از طریق یک دیافراگم لاستیکی واقع در بین ورق و سیال به ورق منتقل می‌شود.

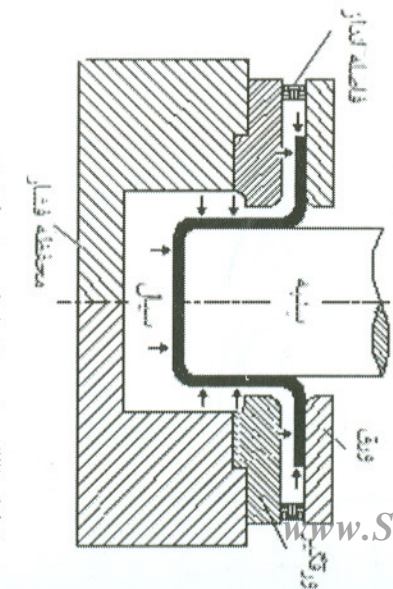


شکل (۱): نمایش شماتیک روش هیدروفرمینگ استاندارد.

همانگونه که در شکل ۱ دیده می‌شود، یکی از اجزای اصلی روش هیدروفرمینگ استاندارد، دیافراگم لاستیکی است. **SID** این ابزاری محفظه سیال مورد استفاده قرار می‌گیرد. به علت تماس مستقیم سیال با دیافراگم و نیز



شکل (۴): نمایش شماتیک روش هیدروریتم [۳].



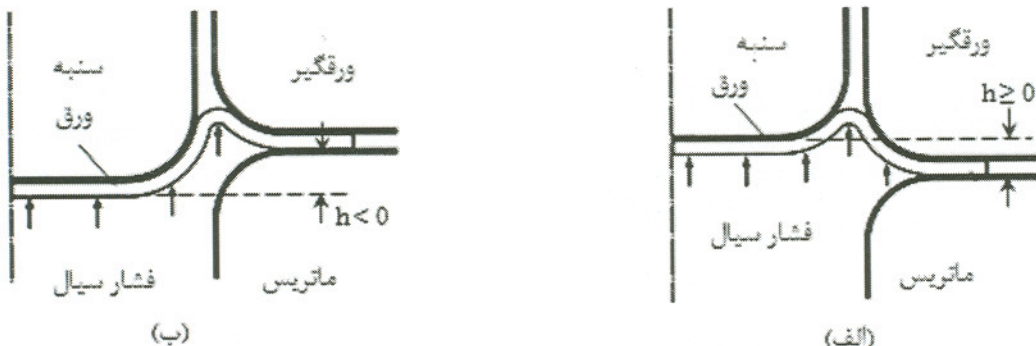
شکل (۳): نمایش شماتیک روش کشش عمیق هیدرومکانیکی [۴].

تنش در ناحیه ای که ورق به دور سنبه چسبیده است تغییر می کند. این امر از پارگی و چروکیدگی ورق در مراحل ابتدایی شکل دهنده جلوگیری می کند. بس از اینکه فشار تا اندازه از پیش تعیین شده ای رسیده، سنبه شروع به حرکت می کند.

از نظر آن محعنان بر طبق محل قرار گیری سنبه، پیش بشکه ای کردن به دو صورت انجام می گیرد. پیش بشکه ای کردن مشتب^۱ و پیش بشکه ای کردن منتفی^۲ تصویر قالب قرار دارد، چروکیدگی به وجود می آید که یک محدودیت اصلی این روش محسوب می گردد.

بر اساس روش کشش عمیق هیدرومکانیکی، روش کشش عمیق هیدروریتم توسعه یافته است که شماتیک آن در شکل ۴ آمده است [۲]. در این روش، ورق در هر دو نشان داده شده است. این دو روش در شکل ۵ نشان داده شده اند. این دو روش به منظور رفع محدودیتها روش‌های قبلی، یک روش جدید هیدروفرمینگ ورق از سوی نگارندگان ارایه شده [۶]. شماتیک روش جدید در شکل ۶ نشان داده شده است. همانطور که از شکل پیداست، بر خلاف هیدروفرمینگ استاندارد (شکل ۱) که در آن دیافراگم لاستیکی ورق را بطور کامل از محفظه فشار جدا می کند، در این روش از صفحه هیدرومکانیکی پیشتر می باشد، زیرا در هر دو طرف کشش حدی^۱ افزایش یافته است، اما احتمال ایجاد چروکیدگی در ورق نسبت به روش کشش عمیق آزاد است. لگ و همکارانش [۶] تأثیر پیش بشکه ای کردن را در شکل دهنده هیدرومکانیکی مورد بررسی قرار دادند. منظور از پیش بشکه ای کردن، افزایش فشار درون محفظه قبل از حرکت سنبه می باشد. این کار دو تاثیر روغ از سمت پایین وارد محفظه فشار شده به زیر و اولیه ورق به دور سنبه می شود. این امر سبب افزایش اصطکاک بین سنبه و ورق می گردد و از نازک شدنگی ورق جلوگیری می کند. دیگر اینکه در هنگام حرکت سنبه حالت

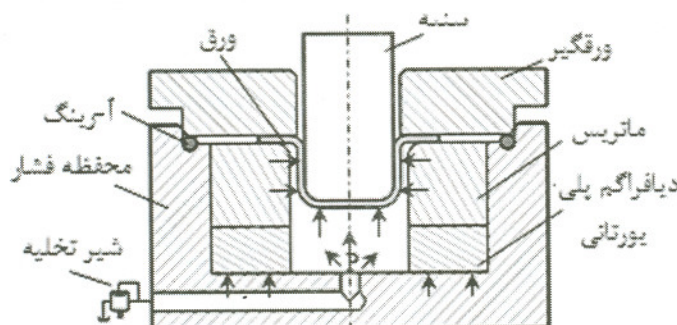
Archive of SID



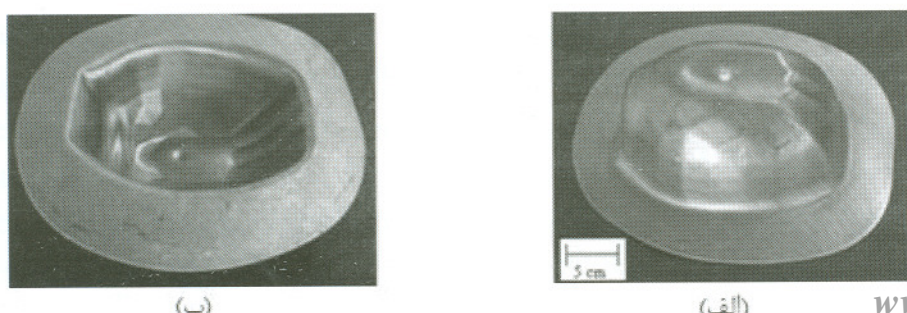
شکل (۵): حالت‌های مختلف پیش‌بشكه‌ای، (الف) مثبت، (ب) منفی.

شکل ۷ یک نمونه از قطعه پیچیده شکل داده شده با این روش را نشان می‌دهد. در این مقاله تاثیر پارامترهای موثر در روش جدید نظیر فشار پیش بشكه ای کردن و فشار شکل دهی بصورت تجربی و شبیه سازی اجزای محدود مورد بررسی قرار گرفته است.

- ۱) فشرده شدن پلی یورتان در اثر وارد شدن فشار روغن از سمت پایین و اعمال نیروی ورقگیر و
- ۲) شکل دهی قطعه در اثر حرکت سنجه نشان داده شده است که قالب جدید هیدروفرمینگ برای شکل دهی قطعات صنعتی پیچیده فلنچ دار مناسب می‌باشد [۶].



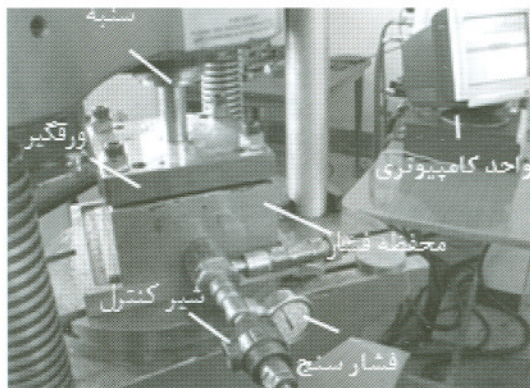
شکل (۶): نمایش شماتیک روش ارائه شده برای هیدروفرمینگ ورق.



شکل (۷): قطعه پیچیده شکل داده با روش ارائه شده [۶].

Archive of SID

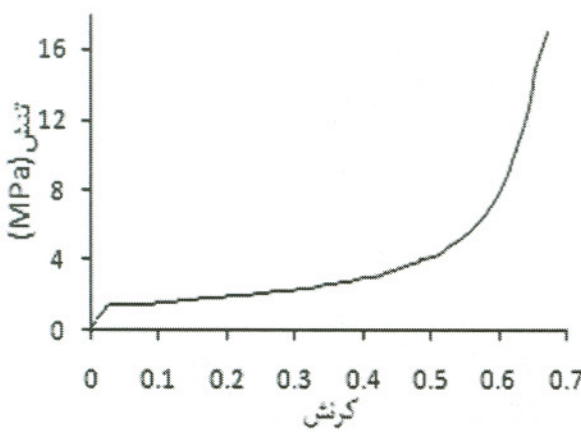
۲- مراحل آزمایشگاهی



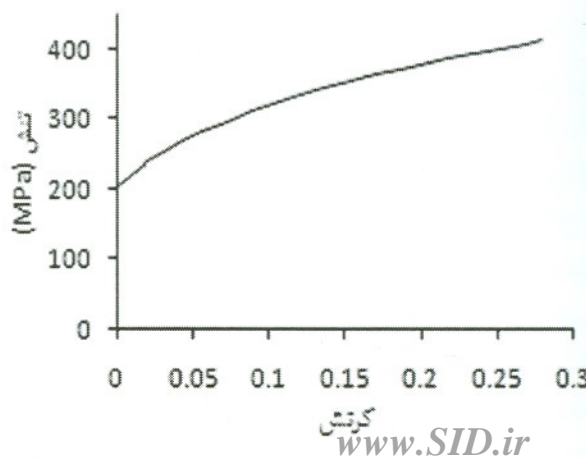
شکل (۸): مجموعه قالب ارائه شده در حالت نصب شده بر روی دستگاه.

و دانسیته $1,500 \text{ Kg/m}^3$ استفاده شده است. خواص الاستیکی پلی یورتان با استفاده از آزمایش فشار تک محوری و طبق استاندارد ASTM-D575-91 [۷] بدست آمده و در شکل ۱۰ نشان داده شده است.

تمام آزمایشها با استفاده از یک دستگاه آزمایش اونیورسال هیدرولیکی با ظرفیت KN ۶۰۰ انجام شده است. کلیه حرکات دستگاه توسط واحد کامپیوترا متصل به آن قابل کنترل می باشد. همچنین سیستم تولید فشار توسط یک مجموعه هیدرولیکی تامین شد که قابلیت اعمال فشار را تا 20 MPa داشته و مقدار فشار بیشینه، با یک شیر محدود کننده فشار قابل کنترل می باشد. مجموعه قالب در حالت نصب شده بر روی دستگاه در شکل ۸ نشان داده است. جهت بررسی تاثیر پارامترهای مربوط به قالب جدید، آزمایش ها برای تولید یک قطعه استوانه ای انجام گرفت. ورق بکار رفته برای شکل دهی از جنس فولاد St14 می باشد. برای تعیین خواص مکانیکی آن از آزمایش کشش استفاده شده است. شکل ۹ منحنی تنش-کرنش حقیقی بدست آمده را برای نمونه فولادی نشان می دهد. پارامترهای اصلی مورد استفاده در جدول ۱ آورده شده است. برای انجام آزمایش ها از یک صفحه پلی یورتانی با سختی 80 shore-A



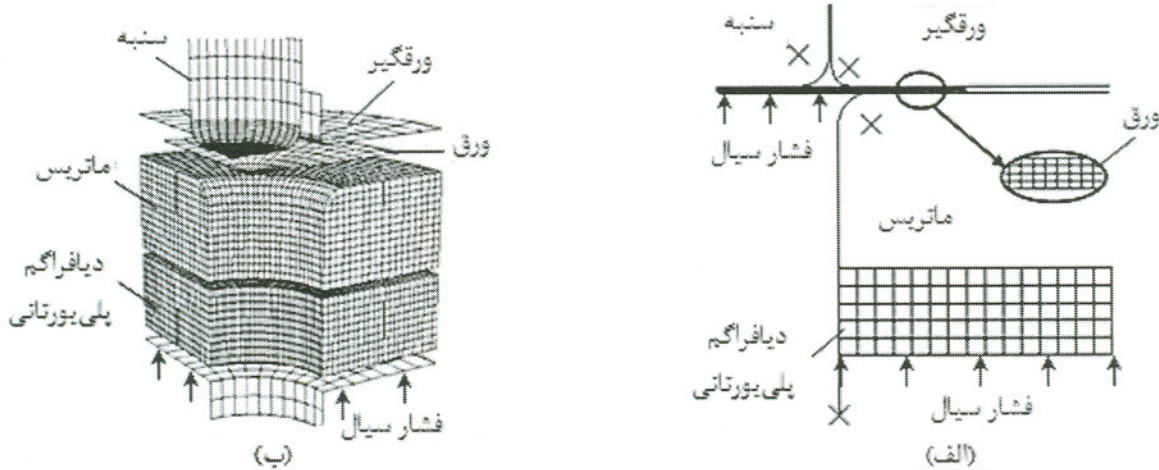
شکل (۱۰): نمودار تنش-کرنش پلی یورتان با سختی ۸۰.



شکل (۹): نمودار تنش-کرنش حقیقی.

جدول(۱): خواص ورق.

دانسیته(ρ)	ضریب استحکام(k)	ضریب پواسن(ŋ)	نمای کرنش سختی(n)	مدول یانگ(E)	تنش تسليم(σ_y)
۷۸۰۰ Kg/m ³	۵۴۹ Mpa	۰/۳	۰/۲۴	۲۱۰ Mpa	۲۰۴ Mpa



شکل(۱۱): مدل اجزای محدود ایجادشده در نرم افزار (الف) دو بعدی، (ب) سه بعدی.

صلب تحلیلی^۳ در نظر گرفته شده اند. برای شبکه بندی ورق از المان پوسته ای متقارن محوری^۳ SAX1 و برای شبکه بندی دیافراگم از المان مربعی متقارن محوری چهارگره ای CAX4R استفاده شد.علاوه، به منظور بررسی چروکیدگی از شبیه سازی سه بعدی استفاده شده است. در مدل سازی سه بعدی به علت تقارن، تنها یک چهارم ورق و مجموعه قالب شبکه بندی شده است. در مدل ایجاد شده ورق و پلی یورتان بصورت شکل پذیر و سایر اجزا بصورت صلب مجزا^۴ در نظر گرفته شده اند. ورق با استفاده از المان پوسته ای چهارگره ای C3D8R و پلی یورتان نیز با المان مکعبی هشت گره ای S4R

۳- شبیه سازی اجزای محدود

برای انجام شبیه سازی از نرم افزار اجزای محدود Explicit ABAQUS / 6.5 استفاده شده است. بدليل تقارن محوری قطعه و قالب، شبیه سازی در حالت دو بعدی انجام گرفت. ورق بصورت یک ماده الاستیک-پلاستیک شکل پذیر و دیافراگم بصورت یک ماده هایپرالاستیک شکل پذیر^۱ در نظر گرفته شد. جهت معرفی خواص ورق، نتایج به دست آمده از تست کشش ورق بصورت جدول تنش-کرنش به نرم افزار معرفی گردید. همچنین جهت معرفی خواص پلی یورتان، نتایج به دست آمده از تست فشار تک محوری بصورت جدول تنش-کرنش به نرم افزار معرفی گردید. سایر اجزا بصورت

Archive of SID

تقریبی به دست آمده است که در رابطه (۲) نشان داده شده است.

$$e_z = FLD_0 = \left(23.3 + \frac{360}{25.4} t_0 \right) \left(\frac{n}{0.21} \right). \quad (2)$$

در رابطه (۲)، FLD_0 کرنش مهندسی اصلی در شرایط کرنش صفحه ای، n نمای کرنش سختی و e_z کرنش مهندسی در دیواره می باشد.

با توجه به رابطه (۳) کرنش مهندسی را می توان به کرنش واقعی تبدیل کرد.

$$\varepsilon_\theta = \ln \left(1 + (e_\theta / 100) \right) \quad (3)$$

همچنین، با توجه به برقرار بودن شرایط کرنش صفحه ای:

$$\varepsilon_\theta + \varepsilon_z + \varepsilon_t = 0 \Rightarrow \varepsilon_t = -\varepsilon_z, \quad (4)$$

$$\%thinning = \frac{t_0 - t_f}{t_0}. \quad (5)$$

با قرار دادن مقادیر جدول ۱ در روابط (۴-۵) ضخامت نهایی قطعه کار در لحظه گلوبی شدن $71/0$ به دست می آید. در نرم افزار توزیع ضخامت تحت عنوان STH شناخته می شود.

۴- بررسی پارامترهای موثر
در این بخش پارامترهای موثر در این روش جدید هیدروفرمینگ بررسی شده است.

۴-۱- پیش بشکه ای شدن
برای بررسی تاثیر مسیر فشار شکل دهی و پیش بشکه ای کردن، دو مسیر فشار با قابلیت کنترل آسان انتخاب شد که در شکل ۱۲ نشان داده شده است.

فشار بیشینه در این دو مسیر یکسان می باشد. در مسیر فشار نشان داده شده در شکل ۱۲-الف فشار با حرکت سنبه افزایش می یابد تا به مقدار بیشینه مورد نظر برسد و

شبکه بندی شده اند. شکل ۱۱ مدلهای ایجاد شده را نشان می دهد.

ورق بصورت ماده همسانگرد در نظر گرفته شده است. جهت مدل کردن اصطکاک بین اجزای قالب و ورق از مدل کولمب استفاده شده است. ضریب اصطکاک بین ورق و ورق گیر $0.8/0$ ، بین ورق و سنبه برابر $1/0$ و بین ورق و ماتریس برابر $0.6/0$ در نظر گرفته شد [۸].

در انواع روشاهای هیدروفرمینگ نشان داده شده در شکل های ۲ - ۴ در تمام سطوح زیرین ورق، فشار سیال اعمال می شود.

در مقابل، در روش ارایه شده، مطابق شکل (۶)، فشار سیال تنها در محدوده محفظه فشار وجود دارد و در زیر ورق گیر فشار وارد نمی شود. به منظور اعمال فشار سیال به ورق در محدوده محفظه فشار در شبیه سازی، از زیر روال Vdload استفاده شده است. مقدار و توزیع فشار سیال با توجه به مسیرهای فشار مورد استفاده (که در بخش های بعدی به آن پرداخته شده است) با استفاده از این زیرروال تعیین شده است. فشار زیر پلی یورتان نیز بصورت یک فشار یکنواخت با دامنه مناسب وارد شده است.

به منظور مشخص کردن پارگی در قطعات شبیه سازی شده، ماکریمم مقدار نازک شدگی در ورق، t_f که با استفاده از مرجع [۹] به دست می آید به عنوان معیار حداکثر نازک شدگی ورق در نظر گرفته شده است. ماکریمم مقدار نازک شدگی با استفاده از کرنش ضخامتی در شرایط کرنش صفحه ای از دیاگرام حد شکل دهی به دست می آید (رابطه ۱).

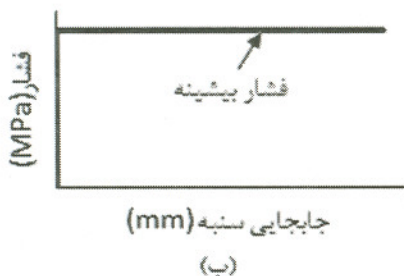
$$\varepsilon_t = \ln \left(\frac{t_0}{t_f} \right) \Rightarrow t_0 = t_f \exp(\varepsilon_t), \quad (1)$$

در رابطه (۱)، t_0 ضخامت اولیه ورق و t_f ضخامت نهایی ورق در لحظه شروع گلوبی می باشد.

کرنش مهندسی اصلی، e_z ، در شرایط کرنش صفحه ای توسط گروه تحقیقاتی کشنش عمیق آمریکای شمالی ^۲ بطور

Archive of SID

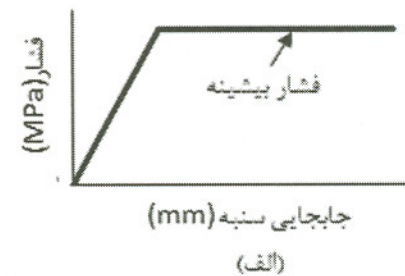
نیفتاده است. ناحیه E بخش فوقانی جداره فنجان و ناحیه فلنچ احتمالی است که در آن افزایش ضخامت به وجود می‌آید. همانطور که دیده می‌شود بیشترین کاهش ضخامت مربوط به دو ناحیه یعنی ناحیه در تماس با شعاع سر سببه (ناحیه B) و ناحیه دیواره (ناحیه D) می‌باشد. با توجه به شکل ۱۵ می‌توان گفت که در مسیر فشار شکل ۱۲-ب نازک شدگی بیشتری اتفاق می‌افتد. از این رو می‌توان نتیجه گیری نمود که پیش بشکه ای کردنی که در این مقاله ایجاد گردیده، تاثیر منفی بر توزیع ضخامت قطعه دارد. اما به دلیل اینکه این تاثیر چندان قابل ملاحظه نمی‌باشد و همچنین به دلیل آسانتر بودن کنترل مسیر فشار، در ادامه مقاله از مسیر فشار شکل ۱۲-ب استفاده شده است.



(ب)

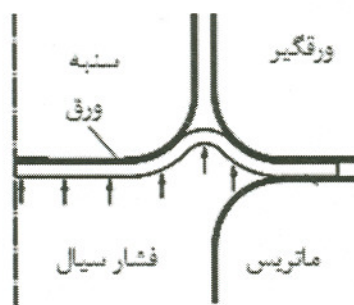
سپس با استفاده از شیر کنترل فشار، ثابت نگه داشته می‌شود. در مسیر فشار نشان داده شده در شکل ۱۲-ب، در حالیکه سببه در تماس با ورق و ثابت است، فشار به مقدار بیشینه می‌رسد و سپس در طول کورس ثابت نگه داشته می‌شود. این مسیر فشار موجب ایجاد حالت پیش بشکه ای کردن در قالب می‌شود که در شکل ۱۳ نشان داده شده است.

منحنی تغییرات ضخامت اندازه گیری شده در راستای نشان داده شده در شکل ۱۴-الف، برای دو نمونه تولید شده با استفاده از مسیرهای فشار شکل ۱۲ در شکل ۱۵ نشان داده شده است که در آن منحنی‌ها بر اساس ناحیه‌های شکل ۱۴-ب تفکیک شده‌اند. ناحیه A مربوط به کف قطعه می‌باشد که تغییر ضخامت زیادی در آن اتفاق



(الف)

شکل (۱۲): مسیر فشارهای استفاده شده در آزمایش‌ها، (الف) خطی-ثابت، (ب) ثابت.

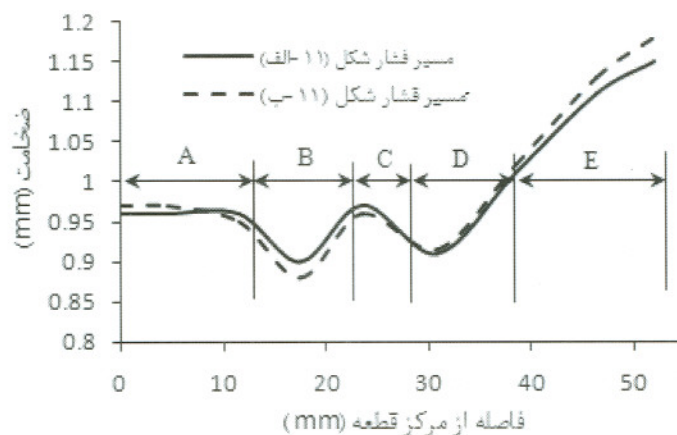


شکل (۱۳): حالت پیش بشکه‌ای ایجاد شده با استفاده از مسیر فشار شکل ۱۲-ب.

Archive of SID



شکل (۱۴): (الف) مقطع برش داده شده، (ب) تقسیم‌بندی نمونه شکل داده شده.

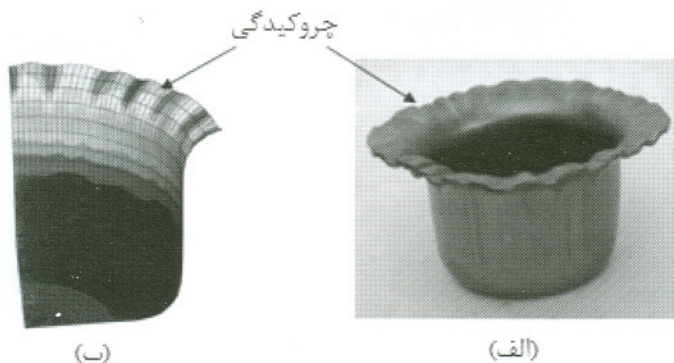


شکل (۱۵): توزیع ضخامت نمونه‌های تولید شده با استفاده از دو مسیر نشان داده شده در شکل (۱۲).

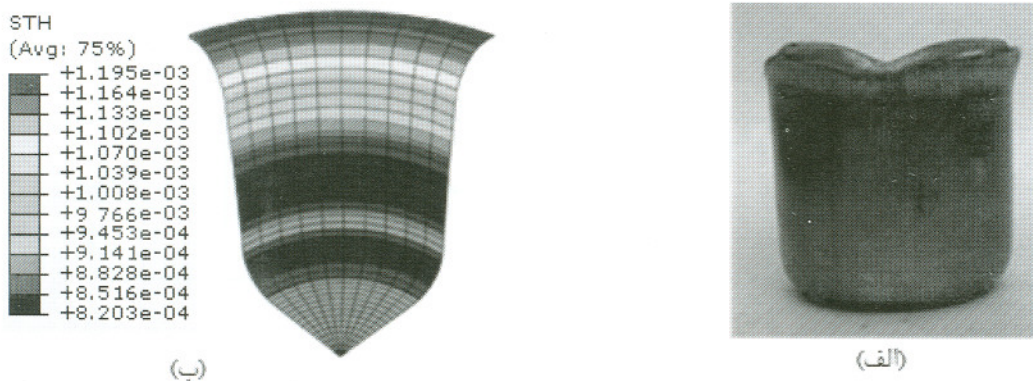
بیشینه افزایش داده شد و ملاحظه گردید که در فشار $\frac{3}{3}$ چروکیدگی بر طرف گردید. قطعه تولید شده با این مسیر فشار در شکل ۱۷ نشان داده شده است. پس از شکل گیری اولین قطعه سالم، برای بدست آوردن فشار پارگی، فشار شکل دهی به تدریج افزایش داده شد. با افزایش فشار شکل دهی نمونه‌های دیگری تولید شدند. شکل های ۱۸-۱۹ قطعات تولید شده با فشارهای مطلوب شکل داده شده اند.

۲-۴- فشار شکل دهی
برای بررسی تاثیر فشار شکل دهی در قالب جدید هیدروفرمینگ، مقادیر مختلف فشار بر اساس مسیر فشار شکل ۱۶ قطعه شکل داده شده با فشار بیشینه $\frac{2}{8}$ MPa را نشان می دهد که در ناحیه فلنچ آن چروکیدگی ایجاد شده است. همانطور که ذکر شد، در قالب جدید هیدروفرمینگ نیروی ورقگیر تابع فشار محفظه می باشد. بنابراین با پایین بودن فشار روغن، نیروی ورقگیر کم می باشد و چروکیدگی در ناحیه فلنچ به وجود می آید. برای حذف چروکیدگی در ناحیه فلنچ، فشار

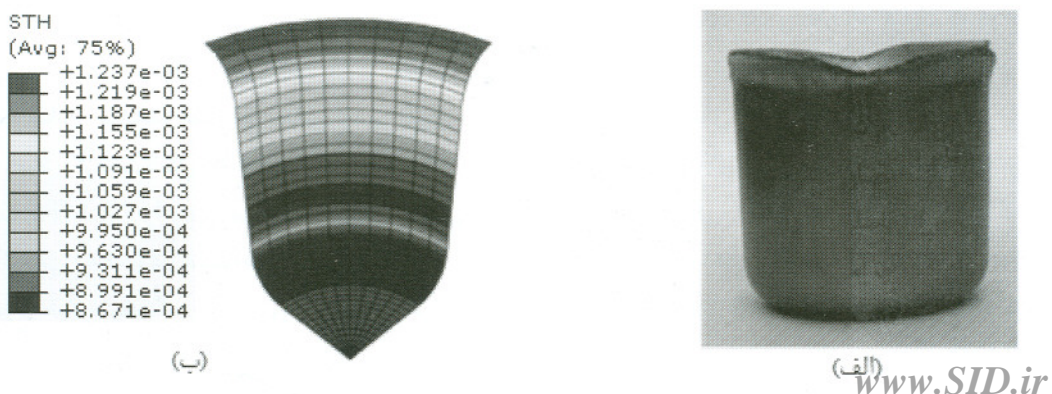
Archive of SID



شکل (۱۶): نمونه چروک شده با فشار ۲/۸، (الف) تجربی، (ب) شبیه‌سازی.

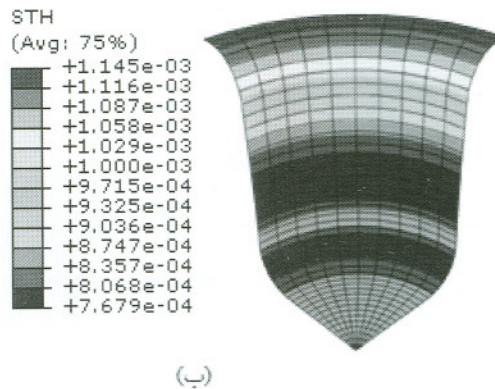


شکل (۱۷): نمونه شکل داده شده با فشار بیشینه ۳/۳، (الف) تجربی، (ب) شبیه‌سازی.



شکل (۱۸): نمونه شکل داده شده با فشار بیشینه ۴، (الف) تجربی، (ب) شبیه‌سازی.

Archive of SID



(ب)

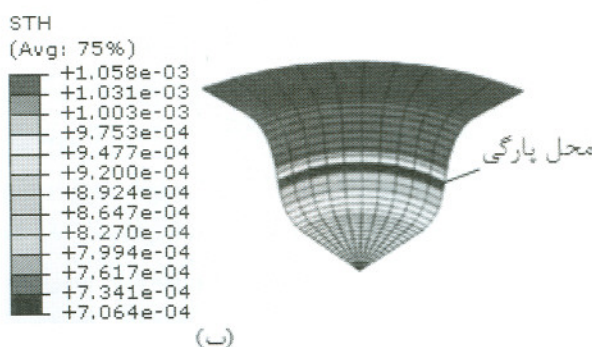


(الف)

شکل (۱۹): نمونه شکل داده شده با فشار بیشینه ۵/۵، (الف) تجربی، (ب) شبیه‌سازی.

شکل دهی قطعات مطلوب که در شکل های ۱۷-۱۹ نشان داده شده، این نتیجه گیری به دست می آید که این سطح فشار در مقایسه با فشار های گزارش شده در مراجع [۸] و [۱۱] برای تولید قطعات نسبتاً مشابه بسیار پایین تر است. نمودارهای توزیع ضخامت به دست آمده از آزمایشات تجربی و شبیه سازی برای فشارهای مختلف در شکل ۲۱ نشان داده شده است. همانطور که در شکل دیده می شود، نمودارهای توزیع ضخامت مربوط به فشارهای ۳، ۴/۵ و ۴/۵ و ۵ MPa دارای دو منطقه بحرانی توزیع ضخامت هستند و از شکل ۱۵ پیروی می کنند، اما نمودار توزیع ضخامت فشار ۵/۵ MPa دارای یک منطقه بحرانی می باشد.

شکل ۲۰ نمونه تولید شده با فشار ۶ MPa را نشان می دهد که پارگی در ناحیه تماس با شعاع سر سنبه (ناحیه B در شکل ۱۴-ب اتفاق افتاده است. علت این امر آن است که با افزایش فشار، بر اساس شکل ۶، روغن از سمت پایین پلی یورتان آن را با فشار بیشتری به سمت بالا فشرده می کند. این فشردگی پلی یورتان از طریق ماتریس به ورقگیر منتقل می گردد. در نتیجه ورق با نیروی بیشتر ورقگیر مواجه می شود و از این رو در ناحیه تماس با شعاع سر سنبه ورق دچار پارگی می شود. در واقع با افزایش نیروی ورقگیر، قالب جدید هیدروفرمینگ مشابه عملیات کشش عمیق معمولی عمل می کند [۱۰]. با ملاحظه سطح فشار مناسب برای



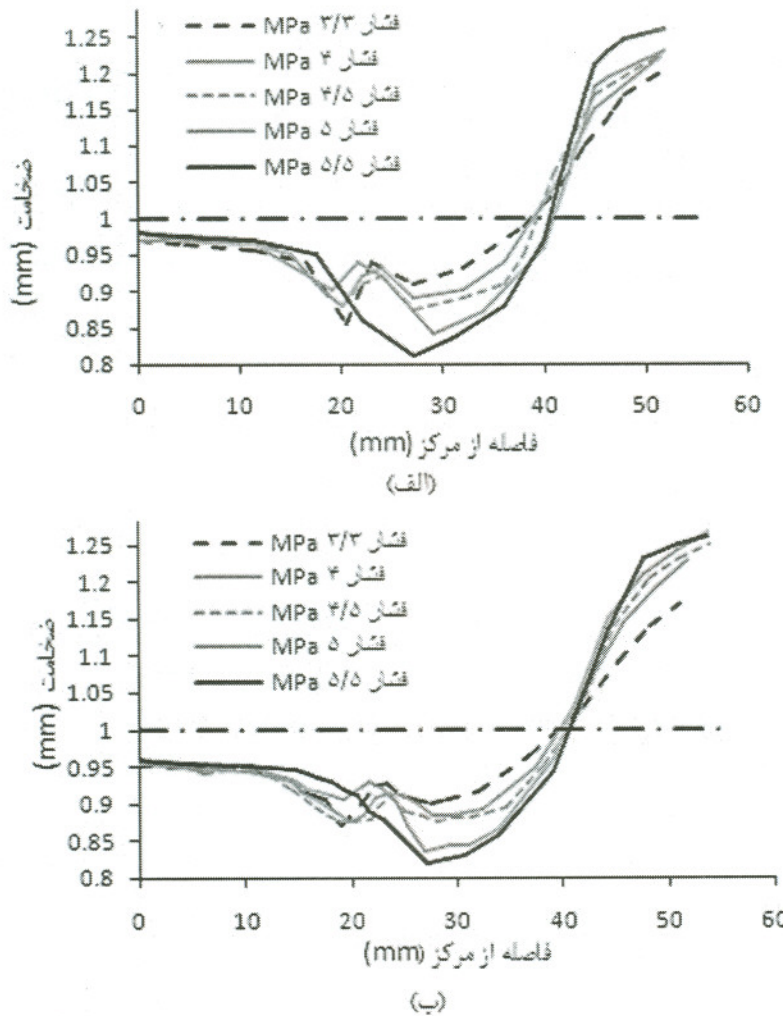
(ب)



(الف) www.SID.ir

شکل (۲۰): نمونه شکل داده شده با فشار بیشینه ۶، (الف) تجربی، (ب) شبیه‌سازی.

Archive of SID

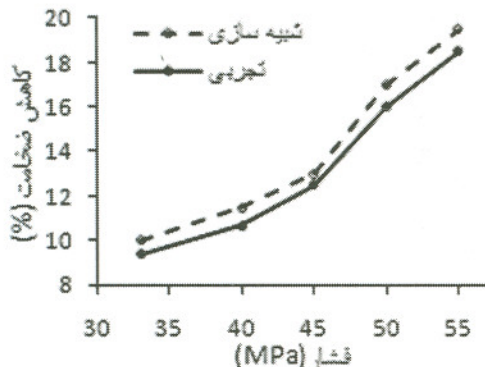


شکل (۲۱): توزیع ضخامت نمونه تولیدشده با استفاده از فشارهای مختلف، (الف) تجربی، (ب) شبیه‌سازی.

سننه می تواند سبب افزایش کشش پذیری شود. در صورت کشیده شدن دیواره، جزءهای روی دیواره نسبت به سننه به سمت بالا حرکت می کنند و بین دیواره و سننه تنش برشی ایجاد می شود، بطوريکه پایین دیواره به طور کامل نیروی کشش را دریافت نمی کند. بنابراین به اندازه نواحی بالا کار- سخت نشده است. به همین علت برای افزایش کشش پذیری می توان از سننه زبر و روانکاری غیریکنواخت استفاده کرد. اما استفاده از این مزايا در هنگام تولید دشوار است زیرا سننه ساییده و هموار می شود و ممکن است به طور اتفاقی به ماده روانکار آلوده شود [۱۰].

با استفاده از نمودارهای شکل ۲۱ ضخامت های بحرانی در دو منطقه B و D با توجه به فشارهای مختلف به دست آمده و در شکل های ۲۲-۲۳ نشان داده شده است. همانطور که از شکل های ۲۲-۲۳ پیداست کاهش ضخامت در ناحیه های B و D با تغییر فشار رفتار متفاوتی دارد. در فشارهای پایین کاهش ضخامت در ناحیه B بیشتر و در ناحیه D کمتر است. در مقابل، در فشارهای بالا کاهش ضخامت در ناحیه B کمتر و در ناحیه D بیشتر است. این انتقال ضخامت بحرانی در **گلتفنگ عمیق W۷۷** نیز مشاهده می شود. در کشنیده عمق سننه، وجود اصطکاک زیاد روی سطح استوانه ای

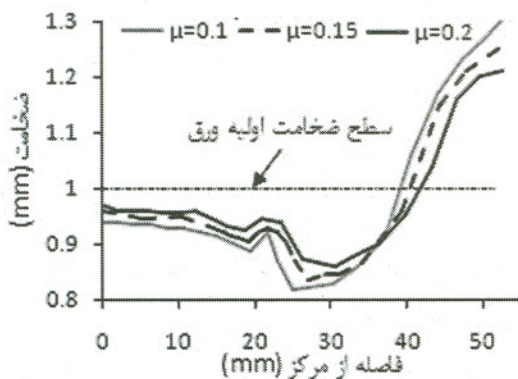
Archive of SID



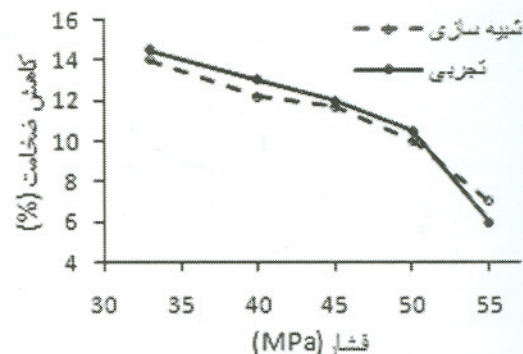
شکل (۲۳): منحنی حداقل تغییرات ضخامت در ناحیه D.

و پلی یورتان SA ۸۰، نسبت کشش حدی ۲/۲۵ به دست آمده است.

جهت بررسی بهتر اثر اصطکاک در محل پارگی، فرآیند هیدروفرمینگ ارایه شده با ضرایب اصطکاک ۰/۲۰، ۰/۱۵، ۰/۱۰=۱ میان سنبه و ورق شبیه سازی شده است. نمودارهای توزیع ضخامت این شبیه سازیها در شکل ۲۴ نشان داده شده است. همانطور که از شکل دیده می شود، با افزایش اصطکاک بین سنبه و ورق، ضخامت بحرانی ورق به سمت منطقه E (دیواره قالب) می رود که دلیل آن قبلاً ذکر شده است.



شکل (۲۴): توزیع ضخامت نمونه‌های شبیه‌سازی شده با ضرایب اصطکاک مختلف.



شکل (۲۲): منحنی حداقل تغییرات ضخامت در ناحیه B.

اما در روش هیدروفرمینگ به علت وجود فشار روغن در زیر ورق، نیروی اصطکاک بین سنبه و ورق افزایش می یابد. با پایین بودن فشار، ناحیه دیواره قطعه (ناحیه های C و D) به خوبی به سنبه نچسبیده است و اصطکاک بین سنبه و ورق کم می گردد و سبب می شود تا ورق از روی شعاع سنبه کشیده شود. بنابراین در ناحیه شعاع سنبه، ورق دچار نازک شدگی می گردد و پارگی از این ناحیه اتفاق می افتد. اما نگامی که فشار افزایش می یابد دیواره قطعه به سنبه می چسبد و سبب افزایش نیروی اصطکاک بین سنبه و ورق می شود و به دلیل ذکر شده برای کشش عمیق سنتی مانع از کشیده شدن و نازک شدگی ورق می شود و سبب بالا رفتن تنش در دیواره می شود و پارگی در دیواره رخ می دهد. با توجه به دلیل ذکر شده مشاهده می شود که در شکل ۲۰ با رسیدن فشار به ۴ MPa، پارگی در ابتدای دیواره رخ داده است، در حالی که هیچگونه چروکیدگی در ناحیه فلنچ ظاهر نشده است. بعلاوه این نکته را باید مد نظر قرار داد که با کاهش فشار سیال، در ناحیه فلنچ قطعه کار چروکیدگی بوجود می آید. از این رو این نتیجه گیری حاصل می شود که برای شکل دهی مطلوب قطعه کار در قالب جدید هیدروفرمینگ، از یک سو فشار شکل دهی باید مانع از چروکیدگی در ناحیه فلنچ شده و از سوی دیگر مانع نازک شدگی بیش از حد در دیواره قطعه گردد. همانطور که در شکل ۲۱ نشان داده می شود، کار پژوهش انجام شده در این مقاله، فشار ۴ MPa بهترین فشار می باشد. با استفاده از این فشار

Archive of SID

6. M. Bakhshi-Jooybari, "A New Die Design for Sheet Hydroforming of Complex Industrial Parts", AMPT Conf., Maname, Bahrain, 2008.
7. Lee, J.W., Kwo, H.C., Rhee, M.H., and IM, Y.T., "Determination of Forming Limit of a Structural Aluminium Tube in Rubber Pad Bending", J. Materials Processing Tech., Vol. 140, No. 2, pp. 487-493, 2003.
8. Fazli., A. and Dariani., B.M., "Theoretical and Experimental Analysis of the Axisymmetric Hydromechanical Deep Drawing Process", Proc. IMechE J. Eng. Manufacture, Vol. 220, No. 1, Part B, pp. 1420-1437, 2006.
9. Aue-U-Lan, Y., Ngaille, G., and Altan, T., "Optimizing Tube Hydroforming, Using Process Simulation and Experimental Verification", J. Material Processing Tech., Vol. 146, No. 3, pp. 137-143, 2004
10. Hosford, W.F. and Caddell, R.M., "Metal Forming Mechanics and Metallurgy", Prentice-Hall, London, 1983.
11. Azodi, H.D., "Analysis of Rupture Instability in the Hydromechanical Deep Drawing of Cylindrical Cups", Int. J. Adv. Manufacturing Tech., Vol. 39, No. 1, pp. 734-743, 2008.

۵- نتیجه گیری

در این مقاله، به بررسی اثر پارامترهایی نظیر پیش بشکه ای شدن، فشار شکل دهی و ضرب اصطکاک بین سنبه و ورق در شکل دهی یک قطعه استوانه ای با استفاده از یک قالب جدید هیدروفرمینگ ارایه شده توسط نویسندها بطور تجربی و شبیه سازی پرداخته شد. در روش هیدروفرمینگ مورد نظر نیروی ورقگیر تابعی از فشار سیال درون محفظه می باشد. بنابراین، نشان داده شد که این امر سبب ایجاد محدودیت در بیشترین فشار قابل اعمال می شود به طوریکه فشار شکل دهی در این روش، برای پلی یورتان با سختی مقایسه با روش کشش عمیق هیدرومکانیکی ساده مقدار بیشتری می باشد. مشاهده گردید که به علت پایین بودن سطح فشار شکل دهی، پیش بشکه ای کردن تأثیر چندانی در شکل دهی ندارد. ازطرفی، نشان داده شد که افزایش اصطکاک بین سنبه و ورق سبب جابجایی محل پارگی از نوک سنبه به سمت دیواره قطعه کار می شود.

مراجع

1. Thiruvarudchelvan, S. and Lewis, W., "A Note on Hydroforming with Constant Fluid Pressure", J. Material Processing Tech., Vol. 88, No. 1, pp. 51-56, 1999.
2. Kandil, A., "An Experimental Study of Hydroforming Deep Drawing", J. Material Processing Tech., Vol. 134, No. 1, pp. 70-80, 2003.
3. Zhang, S.H. and Dankert, J., "Development of Hydro-mechanical Deep Drawing", J. Material Processing Tech., Vol. 83, No. 3, pp. 14-25, 1998.
4. Zhang, S.H., Wang, Z.R., Xu, Y., Wang, Z.T., and Zhou, L.X., "Recent Developments in Sheet Hydroforming Technology", J. Material Processing Tech., Vol. 151, No. 1, pp. 237-241, 2004.
5. Lang, L., Dankert, J., and Nielsen, K.B., "Investigation into the Effect of Pre-bulging during Hydromechanical Deep Drawing with Uniform Pressure onto the Blank", Int. J. Machine Tools & Manufacture, Vol. 44, No. 4, pp. 649-657, 2004.